

京都大学農学部 正員 澤田敏男
岡山大学農学部 正員 ○藤井34章

1. はじめに、現地締固め機械によって発生する地中応力を測定して既にいくつが報告した。即ち各種ローラの静的理論解の比較、発生する応力に与える要因としての土の塑的特性、走行速度の影響、いろいろな変位との比較について述べてきた。本報告では、発生応力に影響を与える締固め用土の土性について概述する。

2. 応力の集中性、土は周知のように完全弾性体ではないので、等方均質の弾性体とした Boussinesq 解を適用が、工学的に少認め難い場合がある。そこで Fröhlich の応力の直達性を仮定して、均質荷重のない弾性異方半無限体を仮定した。そして Boussinesq 解と応力集中係数 β を修正した。集中荷重 P によって生ずる垂直地中応力 σ_z 、水平地中応力 σ_x は次のように示さる。²⁾

$$\sigma_x = \frac{\nu P}{2\pi R^2} \cos^{p-2}\theta \quad \dots \dots \dots (1) \quad \sigma_x = \frac{\nu P}{2\pi R^2} (\cos^{p-2}\theta \sin^2\theta) \quad \dots \dots \dots (2)$$

）とボアソニ比久の間にには次の関係がある。

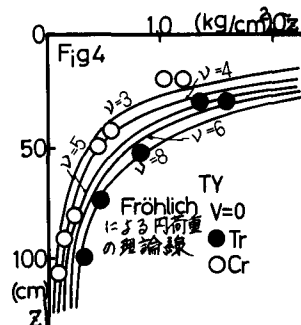
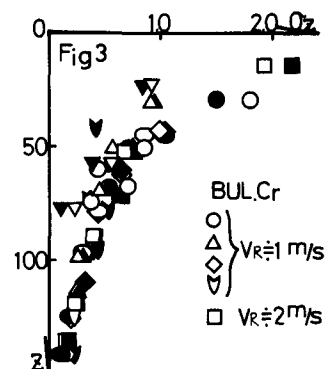
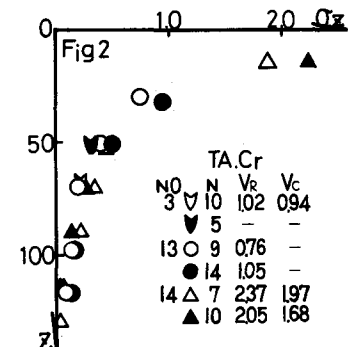
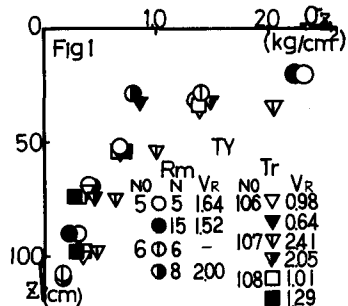
$$V = 1 + (1/\mu) \dots \dots \dots \dots \dots \dots \dots \quad (3)$$

したがって、 ν は小からで4~5、地盤上で3程度といわれる。左の直進性は $\mu = 0.25 \sim 0.50$ の範囲で成立するとされてい。Cp. Rmはこれで満足するし、他の用土も後述のように、この条件を満足すると知られる。Tschebotarjoffは、Fröhlichはその原義で(1)式を集中荷重以外に適用しないようにと述べているとしている。(しかしFröhlichはその原義で(2)式を構成して分布内荷重の式を次のように構成して式を得ていて。

$$\sigma_x = 1 - \cos^2 d \quad \dots \quad (4) \quad \sigma_x = \frac{g}{2} \left(\frac{2}{\nu-2} - \frac{\nu}{\nu-2} \cos^{\nu-2} d + \cos^{\nu} d \right) \dots \quad (5)$$

3. 実験方法、現地試験は既述したようにフィルタムの施工現場で行なった。供試土は粘性土(SM)であるコア用土(Cr)、およびしき分の多い(GM)ランダム用土(Rm)、砂(Fr)、小ロツク(Tr)である。使用機器の機種は、タニビニゲージ(TA)、タイヤ(T)、振動(VIB)の各ローラー、スケーリングマ尺(RA)、ブルドーザ(BVL)であつた。

4. 実験結果および考察。TT : TA, BUL による締固め中の垂直地中応力区 (kg/cm²) と地表面からの深さ z (cm) の関係を Fig. 1~3 に示す。(图)には実験番号 (No.), 応力測定時の転圧回数 (N), 実測走行速度 (VR), 車両についている速度計による平均速度 (VC) を記してある。VR, N は発生する地中応力に影響を与える。即ち一般の機種での締固めでは、VR が大きい程、これはある程度まで 7) 増加する。また N が増すと、多少ひが増大するが、その場合は大きくなない。
5)



応力に最も影響を与える速度で除くため各機種のVR-0の曲線からVR=0の応力(V_r)を算定した。したがってV_rは持機状態の値であり、厳密な解荷重とは限らない。しかしながら機種の持機状態の内部系動荷重の発生は一定であるとしてすべし。甲上による差はないとする。このようにして求めたTY, TA, BUL, VIBのV_rをFig 4~7に示す。

Fig 5には内形荷重に近いTYに(4)式を適用して、V = 3~8について計算した理論線を記している。Z = 30cm: TYによって発生する地中応力G_{0z} = 30(kN/m²)のよう、Trの3倍である。そしてCrは理論線のV = 2~5, Trは5~9である。また載荷面形状は異なるTAのG_{0z} = 30では、CrとTrの比は同じく2:3で、FrはTrの約1.5倍を示す。BULでも全く同じ比を示す。このように異なった機種でありながらTY, TA, BULによるCr, TrのG_{0z} = 30の比がいずれも2:3と近く、使用した粘土土と小ロツクの比としてよい。一方CrはTrよりも大きな値を得るがこれは土性そのものの他に締固め中大きな側方流動がみられたので、みかけのKが増大したものと思われる。

現地試験からV_rを推定すると、TYの場合Fig 4のようになるが、他の機種はどうであろうか。均質等方弹性地盤とした場合、TYの載荷面を円形として、長方形として発生する圧に沿うじ差がなかった。したがって均質異方性とした場合も同様のことがいえると思われ。TA, BULのCr, TrのG_{0z} = 30の比が、TYのそれはCrの2~5, Trが5~9としてよいと思われる。

一方室内試験値から(3)式を利用してV_rを推定してみる。3軸試験から求めめたCrのμは0.32~0.48であるから、V_rは3~4となる。また畠野らの実験によれば、ひび割れ幅はヘリオナイト、0.2~0.48、石英0.128~0.412、碎石(10mm以下)、0.98~0.343であり、V_rは3~4を3~6, 3~9, 4~11となる。このように野外試験からのV_rと室内試験からのV_rを比較すると粘土土と石(碎石、ロツク)は土性粒径の差があるのに重なる範囲が多い。よって野外試験、室内試験からのV_rは粒性土の2~5、ロツク材料5~8、砂はこれらの中間の一概にいわゆるV_r = 5前後が妥当と思われる。即ち半動的状態が、荷重によって応力の集中は認められ、これは静的、集中荷重を受ける粘性土、砂の場合と同様の傾向を示し、ロツクは砂よりさらに大きい応力集中を示すとしてよい。

完全に動的状態であるVIB(±1500r/min)のG_{0z}はFig 7のようになる。これは他の機種に比し最大であるが、CrとTrの差は少ないとされる。これは弾性常数や動的な場合と静的な場合が異なることを思えば当然といえる。したがって他のローラの動荷重が大きくなれば、土性の差による応力の集中の影響は小さくなることが予測される。最後に水平応力K_Hと垂直応力K_Vとの比K_{H/V}について述べる。理論値から求めた(K_H)_Tと実測値から求めた(K_H)_Rとの関係はFig 8のようになる。Cr上のTAは理論値と実測値が一致しており、V_r = 3としてよい。BUL, TY, RAはCrの発生が大きく水平力の発生が大きくVIBは応力の集中性が大きいことがわかる。

[引用文献]

- 1) 村井(1947): 土の支持力とIF.
- 2) Fröhlich (1947): Druckteilung in Baugruben
- 3) 藤井ら(1972): 鋼構造41, 42.
- 4) 藤井(1972): 土質試験
- 5) 藤井(1973): 土力学講義編文
- 6) 畠野ら(1977): 土全論164.
- 7) 玉田・瀬戸・藤井(1972): 土質論
- 8) 池田・瀬戸・藤井(1972): 土全論
- 9) Tschebotarioff (1957): Soil Mech. Foundation and E. St.

